

火災時의 鉄筋 콘크리트

構成材料의 高温性状

李秀吉

1. 序言

建築物의 火災는 人間의 과오로부터 起因하여, 火災拡大의 과정을 거쳐, 貴重한 人命 및 막대한 財産의 損失을 가져오는 것이 통례이다. 최근의 建築物의 火災는 高層化 및 기능의複合化로 開口部面積의 증가, 積載可燃物의 多량화로 인하여 火災溫度는 상당한 高溫에 이르고, 더욱이 高分子材料의 이용으로 人命에 치명적인 연기 및 有害까스의 発生을 증대하고 있다.

鉄筋콘크리트構造는 耐火構造의 대표적인 존재로서 지금까지 취급되어 왔다. 확실히 鉄筋콘크리트構造가 耐火構造라는 것은 주지의 事實이지만 火災時에 있어서 高溫度의 受熱에 의한 構造部材의 強度低下 등에 관계되는 耐火性能에 관한 問題는 매우 심각한 것이다.

이러한 관점에서 耐火構造의 耐火性에 관한 実驗的 연구成果를 중심으로 한 文献考察에 의하여, 특히 鉄筋콘크리트構造와 관련하여 材料工學의 측면에서 構成材料의 高温性状에 대하여 考察하였다.

2. 火災時의 耐火構造物에 대한 問題点

耐火構造의 대표라고 할 수 있는 鉄筋콘크리트構造의 耐火力에도 한도가 있으며, 어떠한 火災時에도 안전하다고는 보장할 수 없다. 왜냐하면, 火災時에 鉄筋콘크리트構造部材上의 強度低下는 대단히 중요한 問題이기 때문이다. 火災의 最盛期溫度는 1,200°C程度 이상의 高溫度로 알려져 있으며, 鉄筋콘크리트構造部材가 이와 같은 高溫度에 가열되어지면 热分解 및 热膨張에 의하여 变形하여 建築部材가 손상되어 構造耐力低下의 원인이 된다.

일반적으로 耐火構造物에 있어서 構造部材에 요구되며, 耐火性向은 延焼防止의 관점으로부터 防火区劃部材에 요구되며, 裏面溫度의 제한과 火災時의 建物倒壊防止를 위하여 構造部材가 耐力を 잃어 파괴되는 일등의 제한에 의하여 规定되어진다. 裏面溫度에 대하여서는 構

成材料의 斷熱性状과 部材치수의 問題이며, 構造耐力에 대하여서는 構成材料의 高温時에 強度低下와 構造部材에 발생하는 热应力의 問題인 것이다.

火災時에 鉄筋콘크리트構造의 上記 問題에 관련된 요인으로서 下記에 언급하는 伝熱 및 变形의 두 가지 요인을 들 수가 있다.

첫째로 伝熱要因으로서는 壁, 床등의 区劃構成部分의 热傳導라든가 热透過를 종합평가한 것으로서 構成部材의 材質에 관한 热的諸特性, 즉 部材의 두께, 比熱, 热傳導率, 温度傳導率, 赤外線 透過率등에 의하여 決定되어 진다. 두 번째로, 变形要因으로는 高密度에 의하여 構成部材가 热膨張 및 热變性을 발생하여 構成区劃의 接合部 및 開口部에 틈을 내어 그곳으로부터 热, 火災, 또는 연기 및 有害까스가 침입하여 火災拡大의 원인이 되는 동시에 構造耐力저하를 수반하게 되는 위험한 要因인 것이다.

火災時에 热收縮作用에 의한 構造部材의 热變形은 構造部材에 금이 가고, 갈라지며, 비틀어지고, 쪼개지며, 爆裂 및 脱落하는 등의 다양한 形態로서 損傷을 초래하게 된다. 따라서 積載可燃物의 燃燒로 인하여 발생하는 연기 및 有害까스는 低濃度일지라도 인간의 避難活動에 지장을 주며, 爆裂은 人間의 待避活動과 消防員의 消火作業을 저해하는 原因이 된다. 위에 언급한 바와 같이 热變形性状에 의한 構造部材上의 손상은 금이 가고, 갈라지고, 비틀어지고, 쪼개지며, 爆裂 및 脱落하는 等의 順位로 갈수록 더욱 위험하여 진다. 위의 관점으로부터 판단하여 볼 때, 現行 設計法에 의한 鉄筋콘크리트構造가 확실히 耐火構造일지라도 火災時에는 일단 高温의 火害를 받으면 伝熱 및 变形의 요인에 의하여 構造部材上에 強度가 저하하게 된다. 이와 같은 現象은 鉄筋콘크리트構造物 전체의 耐火性能을 좌우하는 동시에 커다란 위험을 초래 하므로, 火災時나 火災後에도 構造耐力低下는 대단히 중대한 問題인 것이다.

3. 耐火構造部材에 要求되는 耐火性能의 範囲

耐火構造의 部材에 요구되는 耐火性은 部材를 구성하는 材料 및 構法의 形狀, 치수, 伝熱定数, 膨張收縮, 強度 저하 등 耐火性의 요인이 되는 物性에 의하여決定된다.

耐火性은 위 性質의 집합을 部材에 요구되는 機能에 관련하여 종합적으로 定量化한 성능인 것이다. 耐火性能의 범위를 図表 3. 1이며, 耐火構造의 部材에 요구되는 耐火性을 판단하는 方法은 다음과 같은 基準에 준하고 있다.

1) 遮熱型 火災의 遮断

構造物内를 防火上의 목적으로 壁, 床에 의하여 区劃되어진 防火区劃은 相互空間에 있어서 延焼防止에 대한 역할을 한다. 火災加熱에 의한 高溫의 热伝達을 방지하기 위하여 壁, 床의 裏面溫度를 한정하고 있다. ISO TC/92에 의하면 最高 220°C이하로 되어 있으며, JIS에서는 260°C이하로 되어 있다.

2) 長期設計荷重의 支持

火災時에도 構造部材上에는 固定荷重, 積載荷重 및 設計荷重이 作用하므로 이와같은 長期荷重에 대하여 안전하게 지지되어야 하며 붕괴되는 일이 있어서는 안된다. 鉄筋콘크리트構造의 경우, 高溫受熱에 의한 콘크리트 및 鋼材의 強度, 降伏点, 弹性係數등의 低下를 발생하며 또 한 콘크리트와 鉄筋의 付着応力의 저하로 인하여 構造部材의 耐力이 감소된다. 鋼材溫度上昇의 限度規定 및 載荷加熱試驗의 規定이 있는 것은 위의 점을 위해서이다.

3) 衝擊型 消防注水에 대한 強度保持

火災時에 倒壊物 또는 落下物의 충격에 의하여 耐火被覆이 파괴된다든가, 防火区劃을 관통하는 틈새가 발생하지 않도록 해야 한다. 消防注水와 같은 壓力注水에 의한 경우에도 마찬가지이다. 各国에서는 衝擊試驗과 注水試驗을 근자에는 중요시하지 않고 있다.

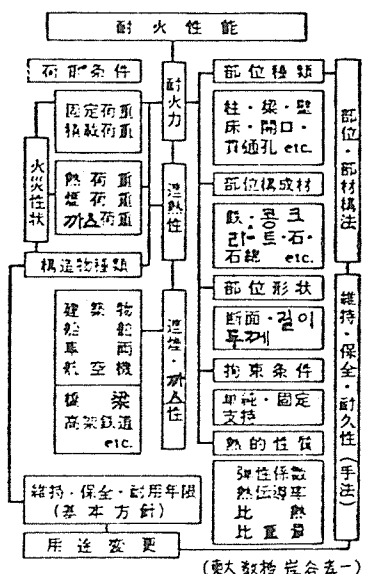
4) 性能維持

火災時에 地震等의 外力이 가해질 경우, 部材相互의 接合部等에 금이 가고, 갈라지며, 脱落하는 等 構造部材의 耐火性을 감소하며, 위험한 일이 발생하기 쉬운 接合部의 工法은 構造物의 變位에 추종되어질 수 있도록 어느 정도의 變位能을 갖출 필요가 있다. 이외에 雨水, 結露,凍結融解等의 자연조건으로 인하여 部材의 材質에 变化가 발생할 경우, 構造物의 사용상태에 의하여 發生하는 인위적인 결손의 경우 등에 있어서도 火災에 선행하는 作用条件에 대하여 고려할 필요가 있다.

5) 火災後의 再使用

火災後에도 構造部材의 손상정도는 無損傷에 가까운 것

(内裝材를 修復할 정도), 構造部材가 전전하여 耐火被覆(鉄筋콘크리트의 경우는 被覆)만 損傷된 것, 손상이 매우 심하고 構造部材로서의 性能을 상실한 것 등으로 구별되어진다. 構造物의 종류, 目的에 따라서는 火災後에 보수하면 재사용이 가능하게 될 수 있는 상태로서의 損傷程度가 요구되어질 경우가 있다. 鉄筋콘크리트構造의 耐火性에 관하여서는 이와같은 案들이 포함되어져 있다. 최근 外國의 경우 特殊地域에 따라서는 火災의 損傷을 받은 建物은 都市計劃上 과과하는 案을 갖고 있는 경향도 있다.



図表 3.1 耐火性能의 範囲

4. 海外各국의 耐火性試験

構造部材의 耐火性能은 耐火試験에 의하여 판정하고 있다. 耐火試験은 壁, 柱, 床 및 梁의 各部材別로 實測와 동등한 試験體를 제작하여 이것을 標準화한 火災溫度로 가열하여 試験體의 温度上昇 및 파괴, 損傷등의 거동을 測定하여 耐火性能을 평가하는 것이다. 耐火試験法에 규정하고 있는 加熱溫度曲線은 표준적인 火災時의 室內溫度와 火災繼續時間의 表象하는 것으로 고안되어져 있다.

美國의 建築法規는 건축물의 구조와 規模 및 용도별로 火災危險度를 과학적으로 평가하며, 각종 構造部材에 대하여 요구되어지는 耐火性은 ASTM의 標準 加熱 試験의 요구에 만족하는 耐火性能으로 표시되어지고 있다. 日本에서는 内화구조의 耐火性能은 建設省告示 第1193에 정해진 耐火性能試験方式(JIS A 1304-1965 建築物의 耐火構造部分의 耐火試験方法)에 의한 試験에서 판정하는 것으로 되어 있다. 澳洲에서는 Part 4 of Australian Standard 1530에 의하여 실시되어지고 있다.

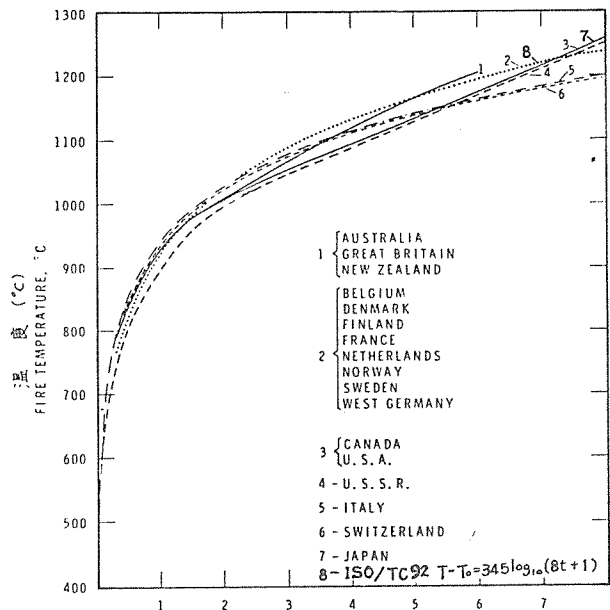
海外各國의 加熱溫度曲線은 図表 4.1에 表示되어진 것과 같으며 試驗方法 및 시험결과의 판정에 있어서는 상당한 차이가 있다. 相違點에 있어서는 内화 시험때의 热原, 試驗体의 温度測定, 鋼材의 表面溫度에 관한 규정, 耐化試驗時의 載荷要否 및 載荷重의 決定方法等이다. 試

것은 이미 오래전 일이다. ISO 提案規準에 의한 標準加熱溫度는 表 4.1과 같으며, 標準加熱曲線은 図表 4.1에 표시되어진 것과 같다.

Standard temperature rise as a function of time according to ISO Recommendation R 834 F (given by the relationship $T - T_0 = 345 \log_{10}(8t + 1)^$)*

| Time in minutes 経過時間(分) | Temperature rise of furnace (°C) 加熱溫度(°C) |
|----------------------------|---|
| 5 | 556 |
| 10 | 659 |
| 15 | 718 |
| 30 | 821 |
| 60 | 925 |
| 90 | 986 |
| 120 | 1 029 |
| 180 | 1 090 |
| 240 | 1 133 |
| 360 | 1 193 |

* Where t = time (min); T = furnace temperature (°C) at time t ; T_0 = initial furnace temperature (°C).



図表 4.1 各国の 加熱溫度曲線

驗体의 温度測定에 특히 다른점은 壁, 床의 裏面 温度의 測定方法으로서 JIS에서는 热電対의 亂개板을 杉板으로 사용하고 있으나, ASTM에서는 石綿板이 사용되어지고 있다. 注水試驗에서는 ASTM은 實際의 消防注水에 유사한 壓力과 管先口径을 사용하고 있으며, BS는 모든 部材에 注水試驗을 시험하는 것이 무리하다는 점과 加熱中에 注水를 할 수 없는 점, 또한 衝擊試驗에도 火災에 의한 弱化效果를 정하는데 충분한 척도가 되지 못하고 있다는 이유로 注水試驗과 衝擊試驗을 삭제하고 있다. 載荷加熱試驗을 원칙으로 하고 있으나, 日本에서는 加熱試驗으로 대행하는 것으로 規定하고 있다. 加熱試驗에서 鋼材 温度上昇의 許容值은 ASTM에서는 평균 538°C, 最高 649°C이며, DIN에서는 최고 450°C로 정해져 있다. ASTM에서는 無支持部材에 관한 鋼材 温度이므로 높은 温度值이며, DIN에서는 載荷裝置上 할 수 없는 경우에만 위의 鋼材 温度로서 판정하는 것으로 되어 있다.

耐火構造에 대한 研究의 진전과 함께 耐火性能試驗을 통일하자는 움직임에 의하여 ISO 提案規準이 작성되어진

5. 高温時의 콘크리트 性状

5.1 콘크리트의 構成

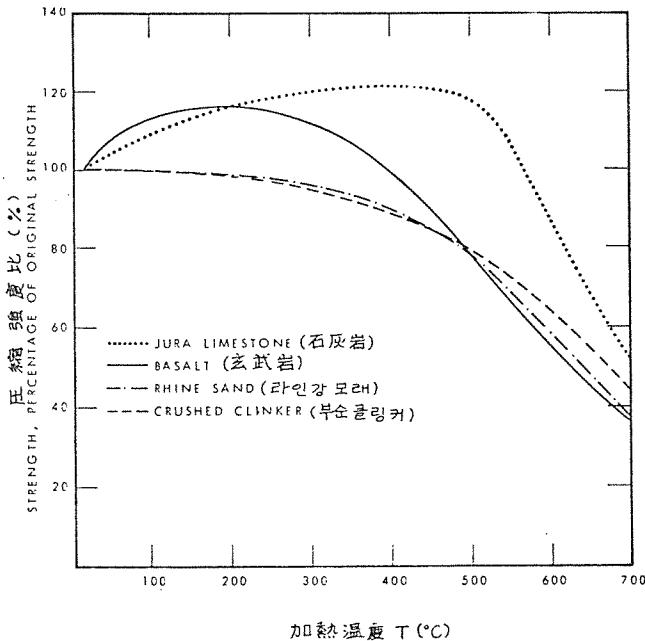
콘크리트는 骨材인 모래, 자갈과 물과 세멘트로 混合한 세멘트물탈로서 接着硬化한 것이다. 콘크리트의 性質은 構成材料의 固有性 및 調合, 打設, 養生等의 조건에 의하여 좌우되어 진다.

콘크리트에 사용되어지고 있는 물탈 또는 骨材는 세멘트 및 물에 의하여 굳어지는 모래, 자갈등의 不活性 粒狀의 재료를 말한다. 骨材는 일반적으로 콘크리트의 体積의 65%로부터 80%사이에서 含有되어지고 있으며, 세멘트의 量, 骨材의 종류에 의하여 耐火性에 미치는 영향은 대단히 크다.

5.2 強度와 弹性

콘크리트가 加熱되어지면 温度의 上승과 함께 石炭灰은 750°C 전후에서 CaCO_3 의 分解가 시작되어 塑性化 콘크리트의 원인이 되는 強度 및 弹性가 저하된다. 일반적으로 강모래, 강자갈을 사용한 콘크리트는 400°C ~ 500°C에서 常温混凝土의 10~20%의 弹성이 손실되어지며, 500°C 이상에서는 弹성이 거의 상실되어지고 있다. 付着強度는 200°C ~ 300°C에서 격감되어지고 있다. 加熱되어진 콘크리트는 冷却後 시일이 경과하면서 水分의 회복과 동시에 強度 및 弹성이 자연히 부귀되어지는 일은 확인되어져 있다. 그러나 500°C 이상으로 加熱되어진 콘크리트는 内部組織의 변화로 인하여 回復이 불가능하게 되어지며 따라서 재사용도 할 수가 없게 되어진다. 高温時에는 콘크리트의 強度 및 弹性은 세멘트의 量, 骨材의 종류에 의하

여 크게 左右되어 지며 물과 세멘트의 比率, 比重, 材令 등에 의하여 미치는 영향도 적지 않다. 또한 加熱의 環境 狀態 및 応力分布 狀態의 유무, 이러한 조건도 무시될 수 없다. 加熱時에 圧縮応力가 작용하고 있는 상태의 콘크리트는 無応力 狀態의 콘크리트보다 高温時에 있어서의 圧縮強度는 크다. 또한 热間強度가 高温時에서의 強度보다 冷却後의 残存強度가 적은 것은 加熱 및 冷却의 과정에서 발생하는 不均等한 温度 distribution에 의한 内部応力의 작용이 크기 때문이라고 사료되어지고 있다. 더우기 세멘트의 量이 많아지면, 高温強度와 残存強度의 쌍방에서 加熱에 의한 강도의 감소는 커지고 있다.



図表 5.1 高温時に 있어서의
各種骨材 콘크리트의 圧縮強度

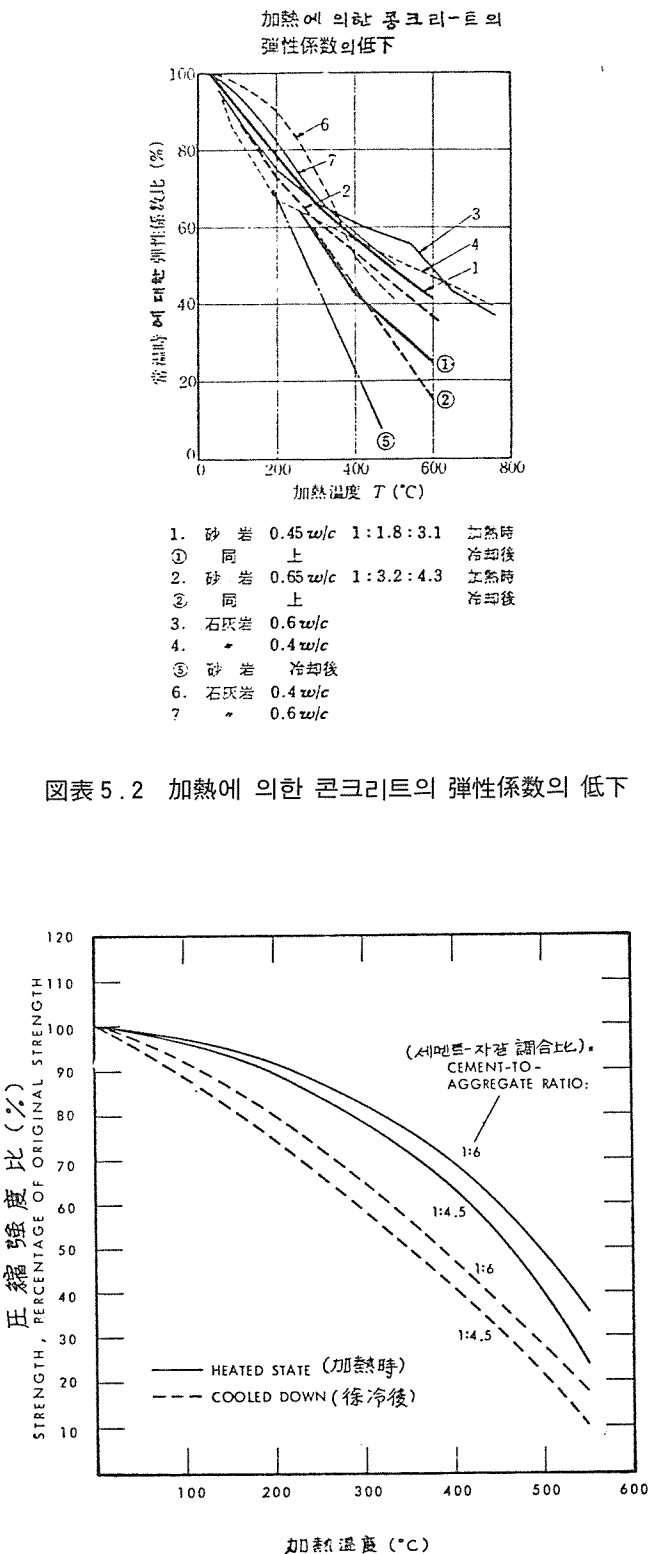
高温時の 각종 骨材를 사용한 콘크리트의 圧縮強度에 대한 변화 관계를 표시한 것이 図表 5.1이며 高温時の 各種骨材를 사용한 콘크리트의 弹性係數에 대한 변화관계를 표시한 것이 図表 5.2이다.

高温時に 있어서 세멘트와 骨材의 比率을 달리한 콘크리트의 応力条件과 圧縮強度에 대한 변화관계를 表示한 것이 図表 5.3이다. 세멘트와 骨材의 比率을 달리한 콘크리트의 高温時の 热間強度와 冷却後의 残存強度에 대한 변화관계를 表示한 것이 図表 5.4이다.

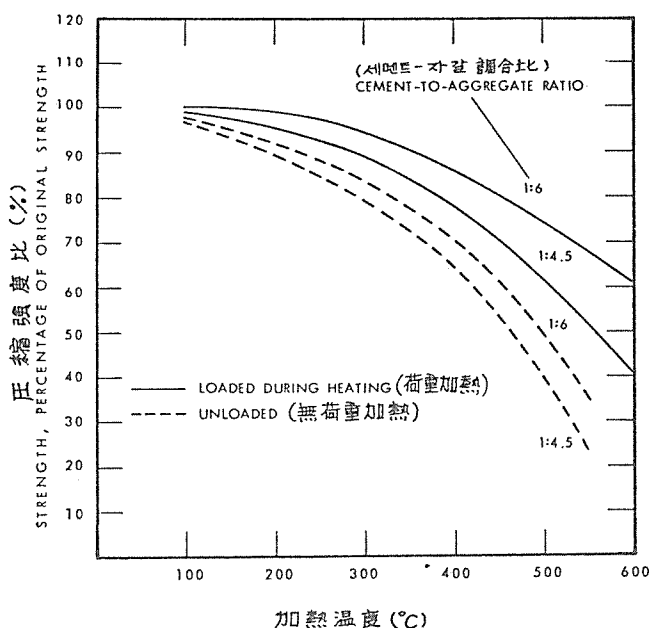
加熱되어진 콘크리트에 強度 및 弹性의 自然回復에 대한 관계를 표시한 것이 図表 5.5, 5.6이다.

鉄筋콘크리트構造의 热応力計算을 위한 자료로서 강모래, 강자갈을 사용한 콘크리트의 加熱温度와 弹性係數 및

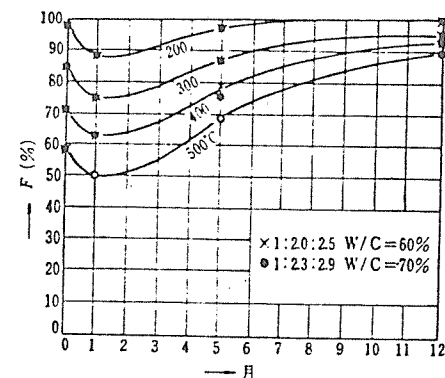
残存強度에 대한 변화관계를 表示한 것이 図表 5.7이며, 热間의 콘크리트強度와 弹性係數의 관계를 표시한 것이 図表 5.8이다. 加熱温度와 付着強度에 대한 变化의 関係를 表示한 것이 図表 5.9이다.



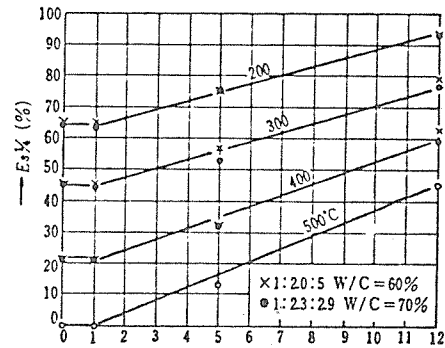
図表 5.3 高温時に 있어서의
콘크리트의 応力条件과 圧縮強度



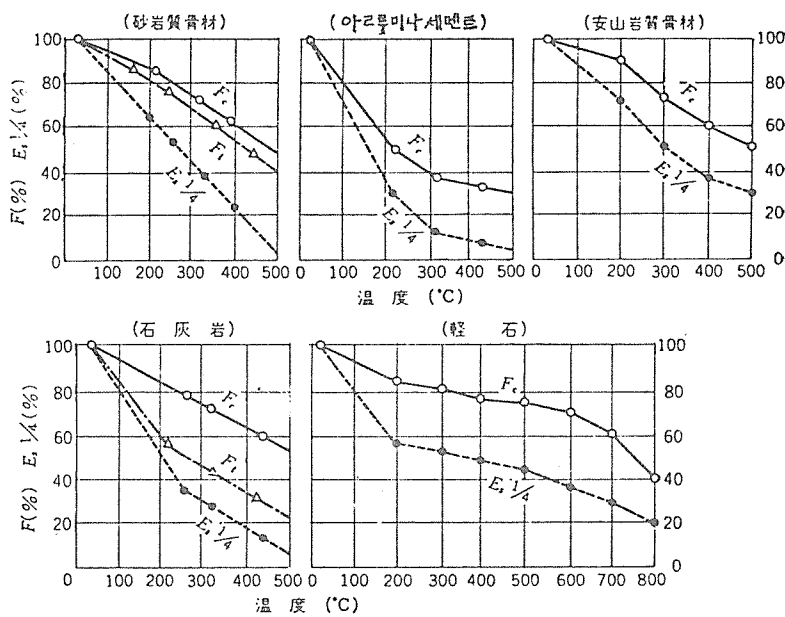
図表 5.4 コンクリートの高温時
熱間強度와 冷却後 残存強度



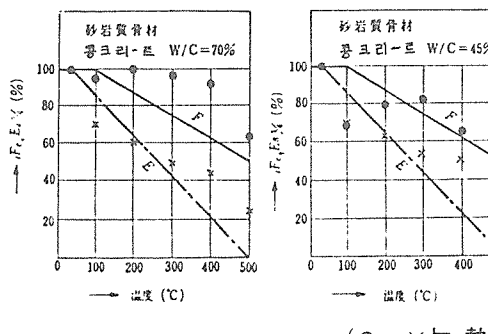
図表 5.5 加熱되어진 콘크리트의 強度의 自然回復



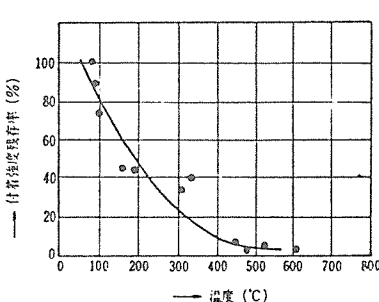
図表 5.6 加熱되어진 콘크리트의 弹性의 自然回復



図表 5.7 加熱되어진 콘크리트의 残存強度 (F)와 弹性係數



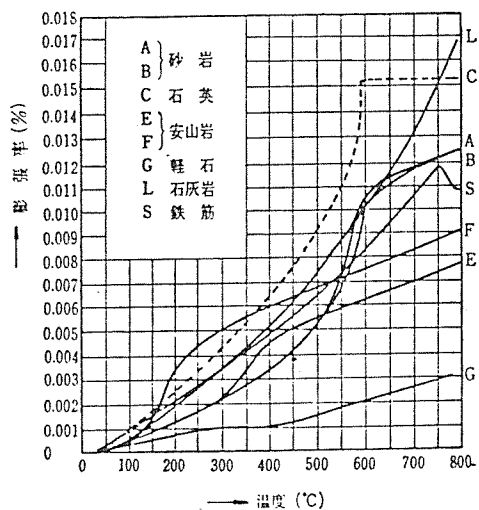
図表 5.8 热間의 콘크리트 強度와 弹性係數 (火災応力算定用)



図表 5.9 加熱温度와 付着強度

5 · 3 热 膨 张

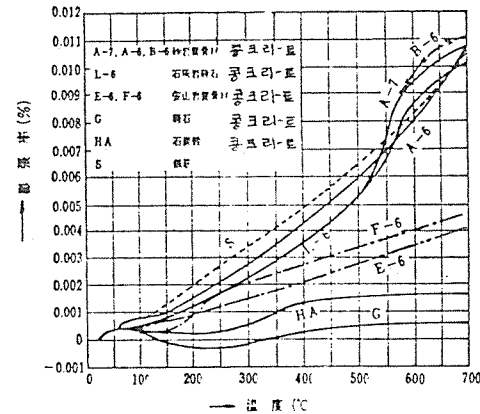
高温時의 콘크리트의 热膨張은 常温時와는 달리 복잡한 양상을 나타내고 있다. 세멘트몰탈은 100°C 정도까지 膨張을 계속하며, 結合水의 상실에 따라 収縮作用이 시작된다. 콘크리트의 주요한 構成材料인 骨材는 콘크리트의 热膨張에 크게 영향을 미친다. 高温時의 各種 콘크리트用骨材의 源岩에 대한 热膨張變化의 관계를 表示한 것이



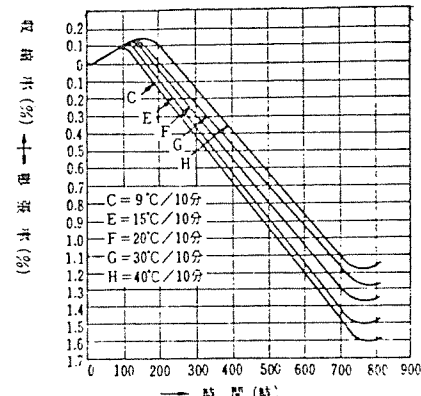
図表5.10 各種 콘크리트用 骨材의 源岩의 热膨張

図表5.10이다. 骨材는 温度上昇과 함께 일반적으로 膨張하므로 콘크리트는 세멘트몰탈의 収縮과 骨材의 膨張을 복합한 变形을 일으킨다. 세멘트의 水和物은 加熱되어지면 約 260°C에서 結合水의 脱水作用을 시작하여 500°C前後에서는 $\text{Ca}(\text{OH}_2)$ 가 分解되어 CaO 로 变化되며, 750°C 전후에서는 CaCO_3 의 分解가 시작된다. 骨材의 岩質에 따라 石英을 含有하는 花崗岩등은 500°C전후에서 급격히 膨張되어지며 580°C전후에서부터는 内部応力의 発生으로 인하여 콘크리트는 崩壊되어 진다. 石灰石은 750°C 전후에서 CaCO_3 의 分解가 시작되어 強度等이 저하되는 원인이 된다. 砂岩質의 骨材를 사용한 콘크리트는 500°C와 600°C의 사이에서 급격히 팽창되어지고 있다. 이와 같은 현상은 骨材中에 含有되어져 있는 石英이 570°C에서 이질적인 石英으로 变질하는 作用으로서 급격한 体積增加를 하기 때문에 세멘트몰탈과의 結合을 급격히 약화시키므로 強度 및 弹性가 상실하게 된다. 安山岩質骨材는 高溫度의 热膨張이 비교적 적으며, 砂岩質骨材에서 볼 수 있는 500°C와 600°C사이의 变能点의 영향도 적다. 純 세멘트몰탈은 高温時에 수축하므로, 세멘트의 量이 많은 콘크리트의 膨張係數는 骨材의 膨張係數보다 적게 되어진다. 보통 調合으로 이루어진 콘크리트에 있어서는 骨材의 膨張係數는 큰차가 없다고 생각된다. 耐火性이 비교적 우수한 骨材는 安山岩, 玄武岩, 石灰岩계통의 軽量骨材로 되어 있다.

高温時의 각종 骨材를 사용한 콘크리트의 热膨張에 대한 变化관계를 표시한 것이 図表5.11이며, 純세멘트몰탈에 대한 加熱温度와 热膨張의 관계를 표시한 것이 図表5.12이다.



図表5.11 各種 骨材 콘크리트의 热膨張



図表5.12 加熱温度와 热膨張(純세멘트몰탈)

5 · 4 温度伝導

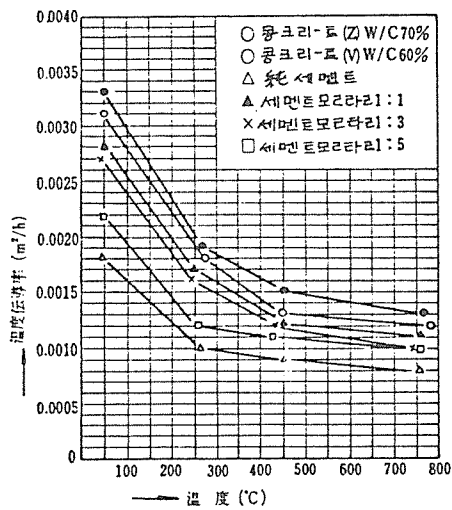
加熱되어진 콘크리트構造部材의 内部温度의 上昇은 구성재료의 温度伝導(K)는 热伝導率(λ), 比熱(C), 比重(δ)에 의하여 左右되어지며, $K = \lambda/C \cdot \delta$ 의 관계가 成立된다.

콘크리트의 温度伝導率은 高温으로 올라갈수록 적어지며, 콘크리트의 含水率은 部材内部의 温度上昇에 커다란 영향을 미치는 작용을 한다. 콘크리트에 내포되어 있는水分은 温度의 上昇과 함께 蒸発하므로 無水分의 상태로 될때까지는 100°C에서 温度의 上昇이 지연되어 진다. 高温時의 세멘트몰탈 및 각종 骨材를 사용한 각종 콘크리트에 대한 温度伝導率에 대한 变化의 관계를 표시한 것이 図表5.13이다.

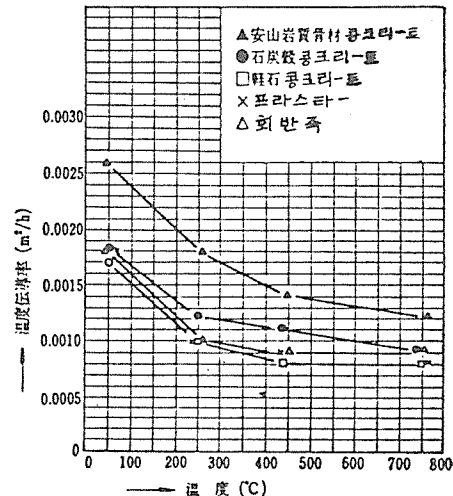
高温時の 콘크리트의 热伝導率은 調合 및 骨材의 종류 등에 의하여 달라진다. 常温時는 콘크리트의 热伝導率은 일반적으로 $1 \sim 1.4 \text{ Kcal/m.h.}^{\circ}\text{C}$ 정도이며 高温에 加熱되어 지면 水和物中의水分脱出에 의하여 热伝導率

은 상승되어진다. 高温時 각종 콘크리트에 대한 热伝導率의 변화관계를 表示한 것이 図表5.14이다. 高温時の 세

멘트몰탈및 콘크리트의 热伝導率과 温度伝導率에 대한 변화관계를 표시한 것이 図表5.15, 図表5.16이다.



図表5.13 高温度에 있어서의 콘크리트의 温度伝導率의 变化 (m^2/h)



図表5.14 各種콘크리트의 高温時に 있어서의 热伝導率의 变化

図表5.15 高温度에 있어서 세멘트몰탈및 콘크리트의 热伝導率의 变化

図表5.16 高温度에 있어서 세멘트몰탈및 콘크리트의 温度伝導率의 变化

5 · 5 爆 裂

火災時の 콘크리트構造部材가 급격히 加熱되어지면 표면중의 콘크리트가剝落하면서 鉄筋을 노출시키는가 하면 때로는 爆音의 発生과 동시에 콘크리트의 破片이 사방으로 飛散하는 특이한 현상을 콘크리트의 爆裂이라고 한다. 이와같은 콘크리트의 爆裂現象은 콘크리트의 構造部材上에 加熱側의 热応力이 급격히 증대함으로서 발생하는 表面層 콘크리트의 圧縮破壊으로서, 주로 火災初期에 발생하고 있다. 爆裂은 콘크리트構造部材의 耐火性能을 좌우하며, 火災時に 위험을 초래하는 원인이 된다. 콘크리트構造部材의 爆裂의 요인은 콘크리트의 含有水分의 高压蒸氣化에 의한것, 또는 骨材와 세멘트몰탈과의 热膨張率의 차이, 콘크리트構造部材上의 加熱面의 근방에서 발생하는 温度의 停留層(100°C)과 停溜層에 의하여 분리된 加熱面 高温度層의 热応力에 의한 圧縮破壊에 의한것

등의 諸説이 있다. 그러나 1961年 巴黎에서 개최된 第5回 F.I.P 国際会議에 제출되어진 結論에 의하면, 콘크리트의 爆裂現象은 加熱時に 있어서 콘크리트의 部材内部에 数種의 分리한 要因이 충복되어 발생하는 것이며, 보다 큰 役割을 하고 있는 것은 部材 internal의 热応力이라고 되어 있다.

6. 高温時の 構造用鋼材 性状

6 · 1 鉄鋼材料의 概要

鉄鋼材料는 成分에 의하여 純鐵, 鋼(炭素鋼 또는 普通鋼, 特殊鋼 또는 合金鋼), 鑄鐵 또는 銑鐵로서 分류하고 있다. 純鐵(Fe)는 炭素(C)와의 結合力이 매우 강하여 0.02%이하의 C가 含有되어 있는 것을 말한다. 炭素鋼은 Fe와 C를 主成分으로 하는 0.02~2.06%의 二元合金이다. C의 含有量은 조작 및 性質에 상당한 영향을 미

친다. C 이외의 合金元素를 첨가한 鋼을 特殊鋼 또는 合金鋼이라고 한다. 特殊鋼에 첨가되어지는 元素로는 Cr, Ni, W, Si, Mn, Mo 등이 있으며, 이러한 元素의 組合 및 含有量에 의하여 다양한 종류의 特殊鋼이 제조된다. 일반적으로 칭하는 鋼(Steel)이라는 것은 C 가 0.008~2.0% 含有되어 있는 것을 말한다.

建築構造用鋼材는 普通鋼의 종별로는 軟鋼에 속하며, 炭素量이 0.12~0.28%의 범위로 되어 있다. 力学的性質에 있어서는 降伏点이 22~35kg / mm²이며, 引張強度가 38~48kg / mm²이며, 線膨脹率에 있어서는 1.15~1.04×10⁻⁵ / °C (20~100°C)이다. 其他 주요한 物理的性質에 있어서는 比重이 7.876~7.789이며, 融点은 1,425~1,528°C이며, 比熱은 0.102~0.108이며, 热伝導率은 48~31Kcal / m·h·°C이다.

6 · 2 高温時に 있어서 鋼材의 問題點

建築構造用鋼材가 高溫度에 加熱되어지면 耐火性의 가장 중요한 요인이 되고 있는 構造部材의 耐力を 상실하는 문제로서 특기되어진다. 表 6.1에 명시되어진것과 같이 建築構造用鋼材의 融点은 他金属에 비교하여 상당히 높으며 화재시의 熔融은 그다지 問題가 되지 않지만, 비교적 低温 및 低応力의 상태에서 塑性變形를 발생한다. 이와같은 塑性變形現象과 특히 高温時に 鋼材의 引張強度, 降伏点, 弹性係數등의 機械的性質의 현저한 저하는 火災時に 耐火構造部材上의 耐火性能을 좌우하는 대단히 중대한 문제의 원인이 되는 것입니다.

| 材 料 | 熔融点 (°C) |
|-------|-----------|
| 錫 | 232 |
| 鉛 | 327 |
| 亜鉛 | 419 |
| 알루미늄 | 658 |
| 真鍮 | 880 |
| 브론즈 | 922 |
| 銀 | 950~1,190 |
| 銅 | 1083 |
| 鐵 鑄 鉄 | 1100~1250 |
| 軟 鋼 | 1425~1528 |

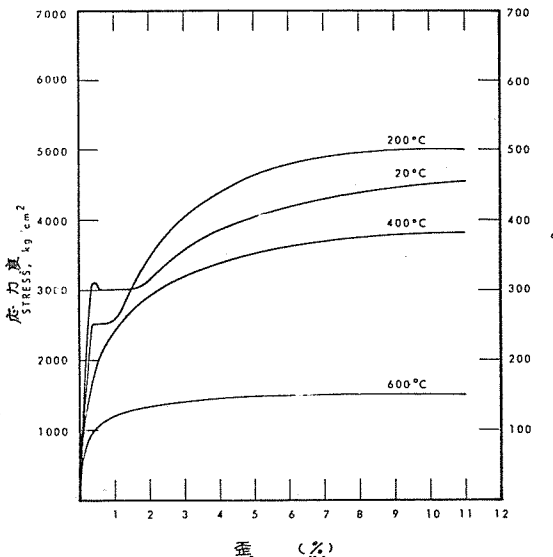
表 6.1 金属의熔融点

通常의 火災時, 室内는 800~1,200°C 정도 이상의 高温에 달하게 되는데 비하여, 鋼材는 温度가 350°C 이상이 되면, 常温時の 降伏点 (24kg/mm²)이, 長期許容応力度 (16kg /mm²) 정도까지 저하되므로 建物이 崩壊하게 되는 원인이 된다. 그러므로 鋼材 温度의 上승을 억제하기 위하여 耐火被覆에 의한 콘크리트의 두께의 設定이 필요하게 되는 것이다. 화재시 鉄筋콘크리트構造物의 安定性을 확보하-

기 위하여서는 鋼材의 高温性状에 대한 해명이 요구되어진다. 그러나 火災時に 建築構造物이 안전하였을지라도, 火災後에 가해지는 短期荷重에 대한 外力의 가능성을 고려한다면, 加熱後의 冷却되어진 鋼材에 塑性變形가 발생해서도 않된다. 위의 문제점에 대하여 아래에 논하여 한다.

6 · 3 鋼材의 高温 및 加熱後의 強度

鋼材의 高温 및 加熱後의 強度 構造用鋼材는 温度의 상승과 함께 応力-歪曲線의 形을 变化하여 400°C 이상에서는 軟鋼에 특유의 降伏点現象이 상실된다. 高溫度에 軟鋼의 応力-歪曲線에 대한 变화관계를 표시한 것이 図表 6.1이다. 高温時の 軟鋼의 特성을 표시하면 図表 6.2와 같이 되며, 図表에 의하면 温度上昇과 함께 弹性係數는 계속 저하를 보이고 있으며 350°C에서 常温의 約1/2이 되고 있으며, 降伏点은 500°C에서 常温의 約 1/2이 되고 있다.

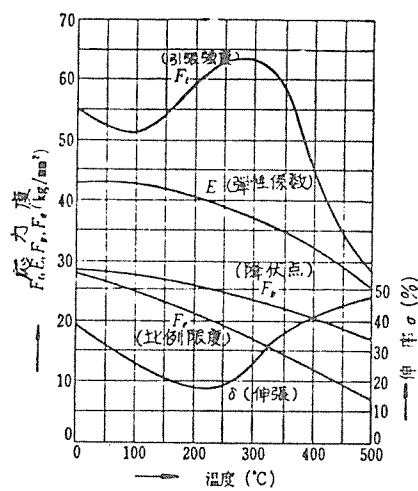


図表 6 · 1

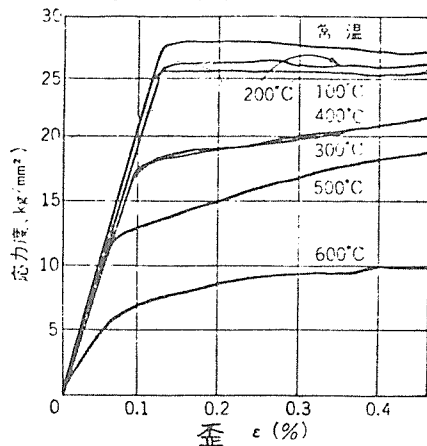
高温時に 있어서 構造用軟鋼의 応力-歪의 曲線

構造設計上 대단히 중요시되고 있는 引張強度는 250~300°C의 범위에서 最大值를 보이고 있으며, 500°C에서는 常温의 約 1/2이 되고 있으며, 600°C에서는 約 1/3이 되고 있다. 또한 引張強度는 400~500°C에서 급격한 저하상태를 나타내고 있다. 建築用普通鋼材(SS41, 化学成分 (%): C=0.22, Si=0.10, Mn=0.54, P=0.016, S=0.029)을 900°C에서 30分間 가열후 空冷하여 烧鈍處理한 鋼材의 高温加熱中에 있어서 応力-歪曲線에 대한 变化관계를 표시한 것이 図表 6.3이다. 図表에 의하면 300°C를 넘으면 비교적 한계가 常温時の 約 2/3가 되고 있으며 그

이상의 温度에서는 応力에 대한 歪曲線의 比率은 현저한 차이를 나타내고 있다. (原田 博士의 実験結果)



図表 6・2
高温時に 있어서 軟鋼의 性質

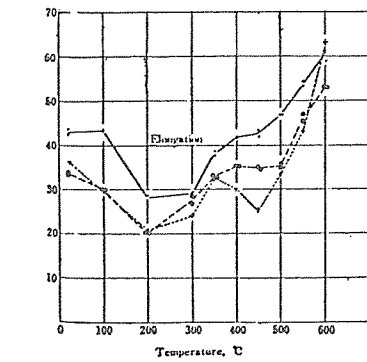
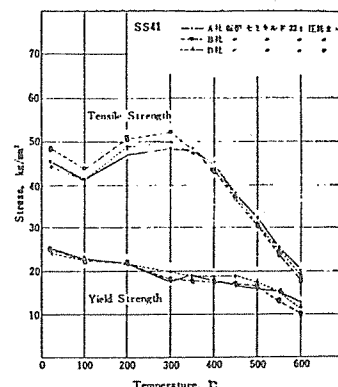


図表 6・3
高温時に 있어서 軟鋼의 応力-歪曲線
(原田博士의 実験)

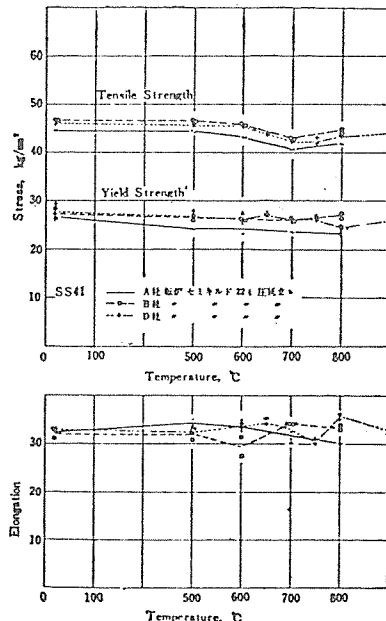
建築用普通鋼材(SS41)의 高温時の 引張強度에 대한 実験結果는 다음과 같다. 高温時の 引張強度는 100°C 근방에서 일단 常温值보다 저하하며, 200~300°C에서 증가한다. 더우기 350°C에서 常温值을 넘어 750°C에서 零에 가까운 급격한 直線的인 勾配로서 저하를 나타내고 있다. 高温時の 降伏点 또는 0.2%의 耐力은 高温으로 갈수록 서서히 저하되고 500°C以上에서는 급격한 低下를 나타내고 있다. 常温時の 2/3로 저하하는 温度는 450~550°C로 나타내고 있다. 高温時の 引張強度에 대한 变化 관계를 표시한 것이 図表 6.4이다.

위와 同種의 鋼材를 加熱後 常温時の 引張強度에 대한 実験結果는 다음과 같으며 加熱後 常温時の 引張強度에 대한 变化관계를 表示한 것이 図表 6.5이다. 加熱履歷이 引張強度에 미치는 영향은 600°C以上的 경우에 나타나고 있다. 700°C에서 最高로 영향이 크며, 引張強度는 約90%로 저하되고 있다. 降伏点에 미치는 영향은 500°C 이하

의 高温으로 갈수록漸增하고 있다. 800°C의 加熱履歷에 의하여 降伏点은 約87%로 저하하고 있다. 500°C의 加熱履歷에도 約90%의 降伏点低下를 초래할 적도 있다. (日本鋼構造協会研究)



図表 6・4 高温時に 있어서 軟鋼의 強度



図表 6・5 加熱後에 있어서 軟鋼의 強度
(日本鋼構造協会実験)

일반적으로 鋼材는 高温에 加熱되어져 強度性状이 저하되었을지라도, 加熱後의 冷却過程에서 強度性状은 어느정도 거의 회복되어지고 있다. 热履歷에 의한 鋼材의 변화는 加熱溫度, 時間 및 加熱度温로부터의 冷却速度에 의존하고 있다.

7. 結 言

数年前에 발생한 油類波動을 계기로 지구의 자원 고갈화 경향은 더욱 심화되고 있으며 따라서 消費型經濟로부터 耐用型經濟로 構造變化를 불러 일으키고 있다. 최근 性能의 維持保全에 관한 問題는 火災에까지 언급 하게 되었다. 火災後에 建築物의 再使用이 가능하게 되기를 바라는 마음 간절하다. 上記의 관점으로부터, 建築物의 耐用壽命을 物理的, 기능적이라는 両面에서 檢討하여 볼때, 아래의 属性도 性能管理의 요인으로서 고려할 필요가 있다.

鉄筋コンクリート構造物이 화재를 당했을 경우, 損傷의 발견 또는 改修方法은 간단하면서도 확실하지 않으면 안된다. 이와 관련하여 그 建物을 철거하느냐, 補修하여 再使

用하느냐 하는 問題는 構造耐力上 주요한 부분에 대한 火害의 정도, 安全性, 耐久性, 경제성等의 綜合的인 検討 위에 決定되어진다. 檢討上이 기본이 되는 요소는, 火災時에 있어서 建物의 火災溫度가 몇 度정도였었으며, 각 構造部材가 어느정도의 熱을 얼마동안 받았으며, 어느 構造部材上의 강도가 어느程度 감소됐는가를 推定하게 된다.

그러므로 高溫時에 있어서 個個의 構成材料에 대한 物性挙動을 충분히 파악하지 않으면 構造部材를 이루고 있는 単体材料의 耐火性能에 대하여 올바른 判斷 또는 評價를 할 수가 없다. 이와같은 관점으로부터 鉄筋コンクリート構造物을 대상으로 한 構成材料의 高溫性状에 대하여 考察한 결과 高溫環境下의 각 재료의 物性挙動은 평상시 우리가 상상할 수 없을 程度로 복잡하다는 것과 性能의 維持保全에 관한 問제는 더욱 중요하다.

호주 시드니종합대학 근무

参考文 献

1. 田村恭・李秀吉・森実・佐々木：耐火被覆材の高温度下ヶおさる物性挙動に関する実験的研究（セメントー石綿ーパーライト系複合板について），日本建築学会大会学術講演概要集，Oct. 1976'
2. 岸谷孝一：耐火設計法，コンクリート・ジャーナル，Vol. 11 No. 8, Aug. 1973
3. 李秀吉：火災時を想定した高温時におさる建築無機材料の物性挙動，早稲田大学院，学位論文
4. 原田有：高温度におさるセメントモルタルおよびコンクリートの熱膨張について，セメント・コンクリート，No. 280
5. 原田有：コンクリートおよび鉄筋コンクリート構造の災害と耐火力，セメント・コンクリート，No. 269
6. 原田有：コンクリート 部材の火災特性について，コンクリート・ジャーナル，Vol. 11, No. 8 Aug. 1973
7. 高野孝次：コンクリートの耐火・耐熱性，セメント・コンクリート，No. 308, Oct. 1972
8. 斎藤光：鉄筋コンクリート構造およびびプレストレストコンクリート構造の耐火性(1)(2)コンクリート・ジャーナル，Vol. 5, No. 7, Jul. 1967, Vol. 5, No. 8, Aug. 1967
9. 構造用鋼材の高温時ならびに加熱後の機械的性質：JSSC, Vol. 4, No. 33, 1968
10. 李秀吉：日本에서의 火災工学研究의 变遷，大韓建築学会創立30周年 記念 論文集，Sep. 1975
11. 金眞一：建築計画決定方法，普成文化社。1975
12. 岸谷孝一：建築防火材料，技術書院
13. 浜田穂：建築防火論，建築学大系，No. 21, 彰国社
14. HENRY J. COWAN : Architectural Structures, An Introduction to Structural Mechanics.
15. SMITH, PETER R. HENRY J. COWAN : The Design of Reinforced Concrete in Accordance With the SAA Code for Concrete in Buildings.
16. T. T. LIE : Fire and Buildings, Division of Building Research National Research Council of Canada
17. H. L. MALHOTRA : The Effect of Temperature on the Compressive Strength of Concrete, Magazine of Concrete Research, 8. No. 23, 1956.
18. T. Z. HARATHY . W. WSTANZAK : Elevated-Temperature Tensile and Creep Properties of Some Structural and Prestressing Steels, American Society for Testing and Materials, Special Technical Publication 464.
19. W. W. STANZAK. T. TIE : Fire Test on Protected Steel Columns with Different Cross-Section, Fire Study No. 30, Division of Building Research, Ottawa, Feb. 1973
20. J. V. RYAN. E. W. BENDER : Fire Test of Pre-cast Cellular Concrete Floors and Roofs. National Bureau of Standards Monograph 45, Apr. 1962
21. YNGVE ANDERBERG : Fire-exposed hyperstatic Concrete Structures National Swedish Building Research Document D1 : 1973